



<技術資料>

Radial Tire Belt 용 Cord 에 관한 연구

저자 : Carl Z. Draves and Zion S. Lee,

B.F. Goodrich Co, Akron, Ohio,

and L. Skolnik, B.F. Goodrich Research Center, Brecksville, Ohio

역자 : 본회 기술과

오늘날 가장 보편화된 승용차 타이어의 Belt 용 재질은 Rayon과 Glass 이지만 Steel 및 세로운 섬유 코드지를 포함하는 기타 여러가지 재질이 B.F. Goodrich Co 의 타이어 제조 기술진에 의해서 충분히 연구되고 있다. B.F.G 는 최근에 세로운 "Gyro-Core" Steel-Textile Belted Radial 타이어 개발을 위시하여 몇 가지의 세로운 Wire Radial 구조를 발표하였다.

예를들면 Lifesaver Radial Steel R/S 타이어는 Rayon 의 두층사이에 Steel Belt 를 삽입하였다.

이와같은 구조는 BFG 에 의하여 Wire 로된 Radial tire 의 탁월한 취급성과 섬유로된 Radial 타이어의 안락감 및 고속 내구성을 결합한것이다.

자동차 타이어에 있어서 고조되는 안전 및 내구성에 관한 요청이 Radial 타이어 라든가 Belted-bias 구조의 필요성을 절감하게 하였으며 이와같이 변모 해가는 경향이 타이어에 있어서 Belt 의 역할을 재강조 하게되었다.

본장은 Belt Cord 용 재질로 Nylon monofil, polyester macrofil, Rayon, Glass, Vinal (polyvinyl alcohol fiber).

Seven fiber candidates for radial tire belts

Fiber	Supplier
Fiber B.....	E.I. duPont deNemour & Co., Wilmington, Del.
Glass.....	PPG Industries, Inc., Pittsburgh, Pa.
Nylon Monofil (Type p-20)...	E.I. duPont deNemour & Co.
Nylon (6, 6) Multifilament (Type 728)	E.I. duPont deNemour & Co.
Polyester Macrofil (Type F-15).....	Celanese Corp, New York, N.Y.
Polyester Multifilament (Type T-68)	E.I. duPont deNemour & Co.
Rayon (Type 6152).....	American Enka Corp., Enka, N.C.
Vinal (polyvinylalcohol-Types 3131 and 1339).....	Kurashiki Rayon (now Kuraray) Co. Ltd., Osaka, Japan
Wire (Brass Plated).....	Bekaert Steel Wire Corp., Zwevegem, Belgium

Fiber B (Dupont's high modulus experimental fiber) 및 Steel Wire 의 7 가지 후보재료를 이용한 여러가지 필요 조건을 기술하였으며 각후보 재료는 대표적인 구조로서 검토 되었다.

1. 일반적 요구 물성

Belted-Bias 타이어에서도 다소 그린경향이 있지만 Radial 타이어에서 Belt 는 타이어의 크라운부를 원주방향과 그리고 중앙선에 대하여 직각으로 한정하고 있다. 이러한 제한은 트래드 표면의 외부 운동을 최소한으로 하기 때문에 트래드를 안정화 한다.

또한 Belt 는 상처와 땅구에 대하여 타이어 크라운부를 보강한다.

대표적인 70 계열의 Radial Tire 의 Belt 는 폭 1인치 당 315 파운드의 팽창압력으로 인한 하중(Circumferential load)을 갖는다. (Appendix 1 참조) Belt 는 12 이하의 정상팽창 하중에 대한 파괴 강도의 안전계수를 가지고 설계된다.

(Appendix 2 참조)

보다 높은 modulus 를 갖는 코드의 경우에는 안전 계수가 24 이상 일 수도 있다.

Appendix 1

Load at belt=Tire inflation pressure \times Tire radius to center of belt.

Appendix 2

Belt safety factor ratio=Cord tensile strength \times No. plies \times EPI $\times \cos^2$ Inflation pressure \times Tire radius to center of belt
EPI=Ends per Inch
O=Cured Cord Angle

Appendix 3: AFG Compression Modulus Test:

Test cords are drumwound and coated with rubber. The coated fabric is plied up to the necessary thickness to be cured into a 1" \times 2" \times 3" block. 1" \times 1" \times 1" samples are cut from the center of the cured block.

Compression test is conducted with the Instron, with compressive load applied parallel to the axes of the cords. A compressive stress-strain curve is recorded until the load decreases due to sample buckling or bending.

A blank block of 100% rubber is similarly tested so that the compressive load contributed by the rubber portion of the test block can be determined and subtracted from the load for each test block.

Compressive load per cord or per belt can then be calculated as fractions of the net load required to compress the test blocks at various compressive strains.

Compress. Load/cord=Total Load (lbs.)-Load (lbs.)
(at specified strain) for Rubber Compound
N (No. of Cords)

Appendix 4: Data Sources

- A. B.F. Goodrich laboratory data
 - B. DuPont Technical Brochure, December 1969
 - C. Kurashiki Rayon Co. Technical Bulletin, "The Development of Kuralon (Vinal) Tire Cord"
 - D. Rychebosch, F., "Steel Cord as Rubber Reinforcing Material," Wire and Wire Products, June 1962
 - E. American Enka Corp. Industrial Yarn Report No. 70-128
 - F. Algemene Kunstzijde Unie N.V. (AKU) Technical Bulletin, "AKU Tire Yarns," Part VII
 - G. Kenyon, D, ICI Fibers, "The Case for the Use of Macrofilament Yarns in the Breaker Belt"
 - H. DuPont Technical Brochure, March 1970
- 이 안전계수 요구치는 인장강도에 대한 하한(Lower Limit)이 된다.

최소 강도에 부가적으로 Tire Growth 를 최소화으로 제한하고 트래드부의 안정화를 기하기위하여 고신장및

고 압축의 재질이 요청된다.

그러나 만일 신장및압축 성능이 너무 높으면 타이어의 폐로수명과 고속 성능이 저하될 우려도 있다.

상온으로부터 300°F(150°C)까지의 온도 범위에서 각 Belt 코드 후보의 특성을 잘 알아야만 한다. 그이유는 코드가 보통 상기 온도조건에서 제조 및 사용 되기 때문이다.

타이어 Belt 용 코드 후보에 대하여 고려되어야 할 중요한 성능은 강도와 모듈러스, 물과화공약품에 노출되었을 경우의 안정성, 이들의 고속 인장 강도(타이어의 Bruise Resistance 와 관련이 있음)와 취하성(Brittleness high modulus 의 재질에서 있을수있는 문제점) 등을 포함한다.

또한 최근에 많은 관심을 기우리는 성능은 코드의 동적 성능이다. 이는 코드의 신장-압축 쌔이클링은 배합이 타이어의 발열 혹은 동력 손실에 미치는 만큼 영향을 줄수있기 때문이다.

물론 기본적인 구성물을 이루기위하여 Belt cord 는 이미 알려진 RFL (Resorcinol-Formaldehyde-Latex) 혹은 HRH (Hexamethylene-tetramine-Resorcinol-Hi Sil) 직접 배합법과 같은 접착에 의하든간에 배합 고무에 접착되지 않으면 안된다.

본장에서 기술 하지 않은 부가적인 실제 중요한 성능들을 타이어 설계사들은 고려 할 것으로 믿어지나 Belt 후보에 대하여 검토된 대부분의 성능들은 카카스용 코드지의 연구에서 대단히 중요한것들이다.

2. 인장 강도및모듈러스

방사(yarn)의 강도및모듈러스(표 1 참조)는 데니아(Denier)와 단면적당 그램수로 계산하였다. 그 이유는 비중의 차이가 큰 재질을 비교할경우에 이를 두단위가 중요한 비교자료가 되기 때문이다.

예를 들면 Wire의 경우에 데니아당 그램수 혹은 중량 단위로는 낮지만 7.8의 높은 비중으로 인한 단면

<표 1>

Stress-strain properties of industrial yarns^a

	Nylon	Poly-ester	Rayon	Vinal	Dipped Glass ^b	Fiber B	Wire
Specific Gravity.....	1.1	1.4	1.5	1.3	1.8	1.4	7.8
Strength: gpd.....	10.0	8.9	6.2	11.0	8.6	12.0	4.0
10^3 psi.....	146	160	120	183	198	215	400
Modulus: gpd.....	50	115	125	200	230	450	200
10^5 psi.....	7	20	24	33	53	80	199
Breaking Elongation, %.....	18	15	11	6	4	7	2

a Data Sources: A,B,C,D, (see Appendix 4)

b Calculated from zero twist dipped glass cord

스케일 (scale)로는 높다.

일양(一様)한 하중 분포를 얻고 Fiber의 피로 저항(Fatigue Resistance)을 높이기 위하여 다섬유 방사(Multifilament yarn)를 보통 연사(Twist)하여 코드로 만든다.

그러나 엘사수가 많으면 많을수록 인장강도 및 모듈러스는 낮아지기 때문에 코드에 있어서 고임 효율(Twist Efficiency)은 피로 저항이 강도와 모듈러스 성능으로서 조화되도록 고려되어야 한다.

더욱이 코드의 Filament 강도는 코드의 실제적인 연사정도(Twist Level)에 대한 하한(Lower Limit)을 정하게 되므로 또한 참작 되지 않으면 안된다.

표 2는 3 및 6의 연사에서 각종 섬유의 고임 효율을 기록한 것이다.

타이어 Belt 코드에서 우리가 바라는 것은 Filament의 강도와 코드의 피로 저항에 결함이 없는 인장 및 압축모듈러스와 같은 최고의 강도를 유지하는 것이다.

Polyester 장섬유, Dipped Glass, 및 Wire는 이들의

<표 2>

Twist efficiency^a of tire cords.

@Twist Multiple	Nylon	Polyester	Fiber B ^b	Rayon	Vinal	Wire	Dipped Glass ^c	Polyester Macrofil	Nylon Monofil
3	100	100	98	97	93	75	74	58	
6	98	95	97	94	77	62	49	33	

a Twist Efficiency = % strength retained after twisting into cord, properties were furnished by sources B,D,E F,G (see Appendix 4).

b Twist Efficiency taken from processed cord.

c Based on dipped yarn as 100%.

불량한 고임 효율로인하여 즉 3이상의 고임에서 강도에 과도한 손실을 가져 오므로 비교적 저연사(Low Twist)로 사용되지 않으면 안된다.

고임 효율이 좋은 Rayon과 Fiber B는 고연사(High twist)로 사용될 수 있는 반면에 Vinal은 강도와 피로저항을 조절하여 중간 정도로 가장 많이 연사된다.

Nylon 및 polyester 다섬유(Multifilament)는 대단히 좋은 고임 효율을 갖고 있다 그러나 Belt 용으로서 압축Modulus를 높이기 위하여 단섬유(Monofil) 및 장섬유(Macrofil) 형태로 사용하도록 추천 되고 있다.

고임 효율은 연사를 위한 상한을 결정하는 한편 Filament의 강도는 하한을 나타낸다.

코드의 고임수를 낮출 경우에는 Filament가 전체코

드 단위로서 보다는 오히려 개개의 Fiber로서 행동하는 경향이 있다.

이러한 사실은 고임수가 낮은 경우에 각 Filament는 전단 하중(shear Load)을 내부 Filament에 까지 전달 할수 없을것이라는 가능성을 나타낸다.

더욱이 충분한 강력을 갖지 못하였을 경우에 저연사(Low twist) 코드의 각 Filament는 코드와 고무의 경계면에 발생한 전단력(Shear Force)에 의해 파괴될 수 있다.

그러므로 보다 강한 Filament로된 코드 재료는 이런류의 사고를 견디어내는데 보다 성공적일 것이다.

단섬유(Monofil)로서의 Nylon은 최고의 Filament강도를 나타내고 있다. (표 3참조)

<표 3>

Belt cord fiances^a.

	Nylon Monofil	Polyester Macrofil	Rayon	Vinal	Glass	Fiber B	Wire
Yarn/Card Size, Denier	...3970	500	1650	1200	774	700	18400
Filament Count 1	1	1100	288	408	580	5
Filament Size, Denier 3970	500	1.5	4.2	1.9	1.2	3680
Tenacity, gpd 8.5	6.8	6.2	11.0	15.0	12.0	4.0
Filament Strength, Gms	... 33800	3400	9	46	28	14	14700

a B. F. Goodrich calculations

Wire 및 polyester 장섬유(Macrofil)는 대단히 높은 강도를 나타내므로 저연사(Low Twist)로서 사용할 수 있다.

Filament 강도가 낮은 Rayon을 저연사로 사용할경

우에는 심각한 Filament의 결점을 나타낸다.

또한 Fiber B도 Filament 강도가 약하여 따라서 비교적 고연사 구조(High Twist construction)를 사용하여야 한다.

저 강도 및 낮은 꼬임 효율을 갖는 Glass에는 곤란한 문제점이 있다.

Glass Filament 간의 마찰에서 보호하기 위하여 개개의 Glass Filament를 둘러 쌓며 Glass 코드가 장섬유(Macrofil)와 동일한 활동을 하도록 하기 위하여 다발로 결속시키는 두가지 역할을 하는 RFL 침적 처리에

의해서 이 문제점은 해결 될수가 있다.

다심유방사(Multifilament yarn)중에서 Vinal은 가장 강한 섬유 강도를 가지고 있다.

이러한 Vinal의 강도는 최대의 강도와 모듈러스를 얻기 위한 연사를 가능케 하는데 있어서 보다 큰 융통성을 주고있다.

<표 4>

Stress-strain properties of belt cords.

	Nylon Monofil	Polyester Macrofil	Rayon	Vinal	Dipped Glass	Fiber B	Wire
Specific Gravity.....	1.1	1.4	1.5	1.3	1.8	1.4	7.8
Strength: gpd.....	8.5	5.7	2.5	10.6	7.8	11.4	3.7
10^3 psi.....	120	102	100	176	180	204	369
Modulus: gpd.....	46	75	84	181	230	330	180
10^6 psi.....	7	13	16	30	53	59	179
Breaking Elongation, %.....	17.2	14.2	14.2	7.9	4.0	3.7	2.4
Cord Size.....	2800/1	500/7	1650/3	1200/3	75.7/0	1400/3	5x1x 010"
Twist (tpi).....	0	2.5	8.0x7.0	3.5x3.5	2.5	7.5x7.0	2.5

Data Sources: A,B,C,D,G (see Appendix 4)

*Note: at presstime B.F. Goodrich researchers report samples of improved Fiber B have tested at 18.0 gpd - other properties remain unchanged,

표 4는 용도별로 추천하고자하는 형태로서 시험된 7 가지 재료의 코드강도와 모듈러스를 기록하였다.

3. 압축 모듈러스

Belt 용코드의 Stress-strain 특성을 나타낸 다른 성능은 압축 모듈러스이다.

표 5에 나타낸 결과는 B.F. Goodrich Co.에서 새로 고안한 압축 모듈러스 측정기를 사용하여 1% 및 2% 압축시에 측정한 측정치로 부터 산출한것이다.

(Appendix 3참조)

<표 5>

Compression modulus^a of belt cords.

	Nylon Monofil	Polyester Macrofil	Rayon	Vinal	Dipped Glass	Fiber 8	Wire
Load/Denier, 10^2 gpd							
@ 1% Comp.....	6.4	9.3	4.4	8.7	5.4	7.6	2.6
@ 2% Comp.	18.4	25.6	10.9	23.7	12.4	13.6	5.3
Load/cross-section, 10^2 psi							
@ 1% Comp.....	9	17	8	14	12	13	26
@ 2% Comp.....	26	46	21	39	29	24	53

a Calculated from BFG compression modulus test results

Polyester의 장섬유는 Denier 당 그램중량으로 가장 높은 압축 모듈러스를 나타내는 반면에 Wire는 가장 낮았다.

단면적에 대하여는 Wire가 가장 높았지만 한편 polyester 장섬유도 상당히 높은 수치를 나타내었다.

Vinal은 두가지 스케일에 대하여 다심유(Multifilament)보다는 보기드물게 높다.

Rayon, Glass, Fiber B 및 Nylon 단섬유는 일 반적으로 비슷한 압축 모듈러스를 보이고 있다.

Belt 코드는 일반적으로 신장에 영향을 주지만 점차 특히 타이어가 어떤 물체를 굴리 넘을때에는 코드에 대한 신장은 없어지고 압축 상태로 된다.

코드의 압축 모듈러스가 높으면 높을수록 압축변형은 적어질것이다. 그러나 주어진 압축변형율(Compressive strain percent)에서 보다 높은 모듈러스를 가지는 코드는 피로 수명 (Fatigue Life)에 이롭지 못한 비틀림 또는 베를과 같은 현상이 일어 난다.

이와같은 이유로 타이어의 주행 중 Belt 내에 생성되

는 압축 변형을 최소한으로 하기 위하여 높은 압축 모듈러스 코드 제질로된 Belt 들로 성형되어야 한다.

이 압축 변형은 직경이 보다큰 코드의 높은 코드 밀도를 사용하든가 혹은 벨트의 압축 모듈러스를 증가시키는 기타의 방법에 의하여 감소 시킬수있다. 한편 비교적 낮은 압축 모듈러스를 가지는 코드 혹은 고연사 코드(High Twist cord)는 일반적으로 보다 낮은 벨트 모듈러스에 사용 될수있다.

이는 코드가 괴로에의한 결합이 없이 높은 압축율에 견딜수 있기 때문이다.

그렇지만 압축 모듈러스가 너무 낮은 경우에는 벨트가 트레드의 안정기능을 발휘 하지 못할것임을 상기 하여야한다.

4. 온도 효과

50~300°F의 온도 범위에서 Glass 와 Wire의 강도 및 모듈러스는 비교적 영향을 받지 않는다. (그림 1 및 2 참조)

고온에서 Fiber B의 강도 및 모듈러스는 떨어지지만 300°F에서는 그레도 비교적 높은 상태를 유지한다.

Vinal 의경우는 Denier 당그램 중량으로 표시한 모듈러스가 70°F에서 Wire 및 Glass의 중간 모듈러스를 나타내는 것은 보기드문 현상이며 300°F에서는 Rayon

YARN TENACITY vs.
TEMPERATURE

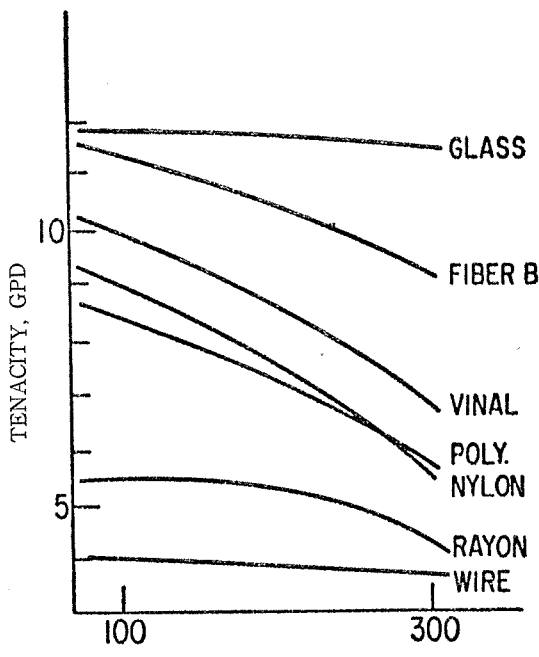


그림 1 The effect of temperature on the tenacity of seven candidates for radial tire belt reinforcement.

YARN MODULUS vs.
TEMPERATURE

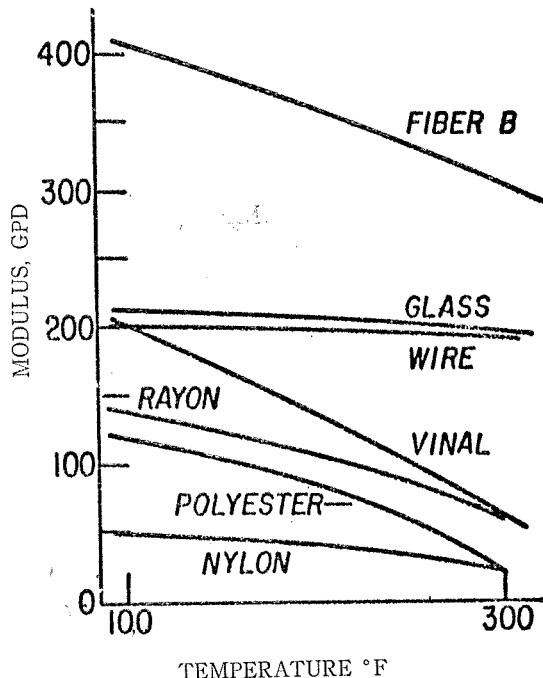


그림 2 The effect of temperature on tension modulus (gm/denier) for seven radial tire belt candidates.

의 모듈러스 까지 하강한다.

Nylon 과 polyester의 경우는 고온에서 강도와 모듈러스 공히 떨어지고 있다.

5. Moisture and chemical stability

75°F의 수증 및 305°F의 개방된 증기중에서 1시간 내지 1시간반동안 방치한후 대표적인 강도 손실 그리고 Goodrich Co.에서 사용한 일종의 개량 노화 시험기에서 강도 손실을 측정 함으로써 타이어 배합에 대한 적합성을 표 6에 나타내었다.

이들 시험 태이타는 위험 범위와 상호 관계를 나타내지만은 표준 이하와 하드라도 반드시 후보 재료에서 제거 할필요는 없다.

예로서 타이어 배합에서 polyester의 강도 손실은 적절한 배합으로서 최소한으로 감소될수 있으며 더욱이 polyester는 正常 조건에서 시험 온도가 325°F 까지 상승 하지 않는다.

Vinal 역시 타이어의 가류 및 사용중 고무로 둘러 쌓여 있을 경우는 본래 증기와 접촉하지 않는다.

따라서 이들 Screening Test로 얻어진 Data 들은 쉽사 속고하여 이용 하지 않으면 안된다. (다음號에 계속)